

Diseño, desarrollo, implementación y prueba de un simulador cuántico para el algoritmo de Simon

Autor: Rodrigo Arias Mallo

Director: Vicente Moret Bonillo

18 de febrero de 2016

Introducción

Resumen: Resolución de un problema mediante un algoritmo cuántico. Simulación y comprobación de los resultados.

- ▶ Presentación del problema
- ▶ Solución clásica
- ▶ Solución cuántica
- ▶ Complejidad teórica
- ▶ Simulador
- ▶ Resultados experimentales
- ▶ Conclusiones y trabajo futuro

Problema de Simon

Sea f una función binaria

$$f : \{0, 1\}^n \rightarrow \{0, 1\}^n$$

que cumple la propiedad

$$f(\mathbf{x}) = f(\mathbf{y}) \iff \mathbf{y} = \mathbf{x} \oplus \mathbf{s}$$

con $\mathbf{x}, \mathbf{y}, \mathbf{s} \in \{0, 1\}^n$ y el período $\mathbf{s} \neq \mathbf{0}$.

Objetivo: Encontrar \mathbf{s} tratando la función f como una caja negra.

Función f de ejemplo

Ejemplo de 2 bits, y un período $s = 01$

x	$f(x)$
00	00
01	00
10	01
11	01

$$f(x) = f(y) \iff y = x \oplus s$$

$$f(00) = f(01) \iff 01 = 00 \oplus 01$$

$$f(10) = f(11) \iff 11 = 10 \oplus 01$$

Solución clásica

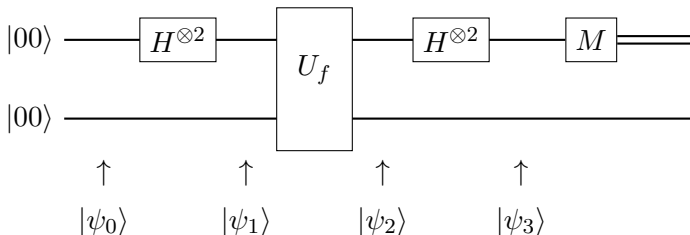
- ▶ Una solución sencilla consiste en probar entradas hasta obtener una salida repetida.

$$f(00) = f(01) \implies 01 = 00 \oplus \mathbf{s} \implies \mathbf{s} = 00 \oplus 01 = 01$$

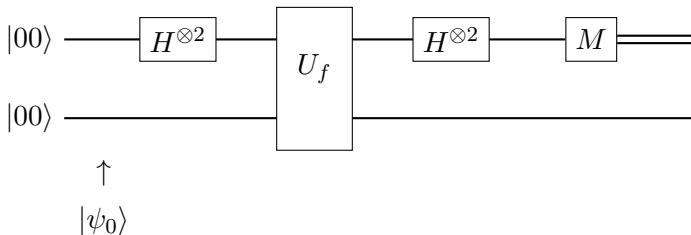
- ▶ Hay $2^n/2$ salidas diferentes.
- ▶ Es necesario probar en el peor caso $2^n/2 + 1$ entradas: $O(2^n)$.

Solución cuántica: $O(2^n) \rightarrow O(n)$

- ▶ Para solucionar este problema, Daniel R. Simon propuso una solución empleando la **computación cuántica**.
- ▶ Soluciona el problema en $O(n)$.



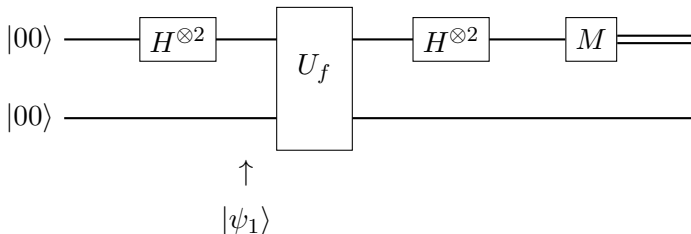
Funcionamiento



Primero se inicializa el circuito con ceros.

$$|\psi_0\rangle = |00, 00\rangle$$

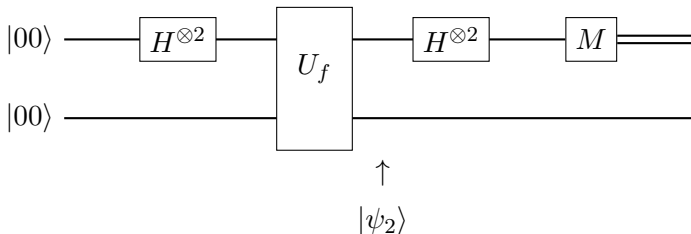
Funcionamiento



Se aplica el operador de Hadamard sobre la línea superior, obteniendo un estado **entrelazado**.

$$|\psi_1\rangle = \frac{1}{2} \left(|00, 00\rangle + |01, 00\rangle + |10, 00\rangle + |11, 00\rangle \right)$$

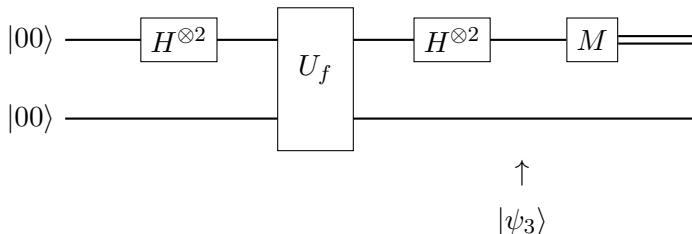
Funcionamiento



El operador U_f definido como $U_f |x\rangle |y\rangle = |x\rangle |y \oplus f(x)\rangle$, realiza el cómputo de f en **paralelo**.

$$|\psi_2\rangle = \frac{1}{2} \left(|00, f(00)\rangle + |01, f(01)\rangle + |10, f(10)\rangle + |11, f(11)\rangle \right)$$

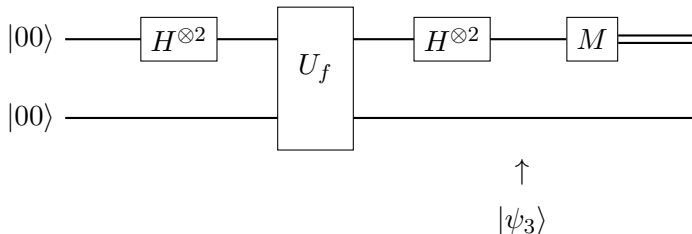
Funcionamiento



Finalmente el operador de Hadamard se aplica de nuevo, produciendo el efecto de **interferencia**.

$$\begin{aligned} |\psi_3\rangle = 1/4 (& + |00, 00\rangle + |01, 00\rangle + |10, 00\rangle + |11, 00\rangle \\ & + |00, 00\rangle - |01, 00\rangle + |10, 00\rangle - |11, 00\rangle \\ & + |00, 01\rangle + |01, 01\rangle - |10, 01\rangle - |11, 01\rangle \\ & + |00, 01\rangle - |01, 01\rangle - |10, 01\rangle + |11, 01\rangle) \end{aligned}$$

Funcionamiento



Obteniéndose

$$|\psi_3\rangle = 1/2 (|00, 00\rangle + |00, 01\rangle + |10, 00\rangle - |10, 01\rangle)$$

Al medir la línea superior se obtienen vectores \boldsymbol{x} tal que $\boldsymbol{x} \cdot \boldsymbol{s} = 0$, con igual probabilidad.

$$\boldsymbol{x} \in \{00, 10\}$$

Complejidad teórica

Una vez obtenidos $n - 1$ vectores \mathbf{x} linealmente independientes, se puede resolver el sistema de ecuaciones y calcular \mathbf{s} .

$$\left\{ \begin{array}{l} \mathbf{x}^{(1)} \cdot \mathbf{s} = 0 \\ \mathbf{x}^{(2)} \cdot \mathbf{s} = 0 \\ \vdots \\ \mathbf{x}^{(n-1)} \cdot \mathbf{s} = 0 \end{array} \right.$$

El número de ejecuciones promedio $E[R]$ será:

$$E[R] = \sum_{j=1}^{\infty} j \cdot p(R = j)$$

Siendo $p(R = j)$ la probabilidad de terminar en j iteraciones.

Complejidad teórica

Construyendo una recurrencia, se calcula $E[R]$

$$E[R] = \prod_{j=0}^{n-2} (1 - 2^{j-n+1}) \cdot \sum_{p=1}^{\infty} p \cdot 2^{(p-n+1)(-n+1)} \cdot \binom{p-1}{n-2}_{q=2}$$

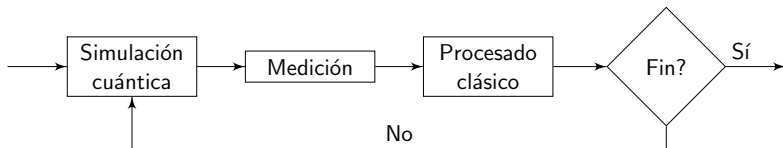
Obteniéndose computacionalmente los valores:

n	2	3	4	5	6	7	8	9	10
$E[R]$	2.00	3.33	4.47	5.54	6.57	7.59	8.59	9.60	10.60
$\frac{E[R]}{n}$	1.00	1.11	1.12	1.11	1.10	1.08	1.08	1.07	1.06

Se observa una complejidad lineal: $O(n)$

Simulador cuántico

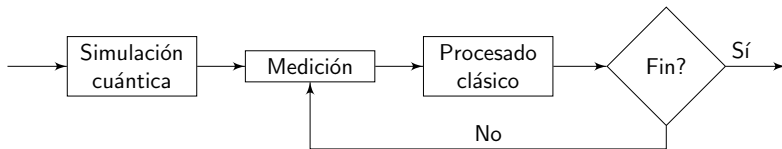
Realiza la simulación del circuito, la medición y el procesado clásico final, imitando el comportamiento de un ordenador cuántico.



Problema: La simulación cuántica es muy costosa.

Diseño del simulador

Permite reutilizar el estado final $|\psi_3\rangle$ tras la simulación cuántica para realizar las mediciones.



Estructuras de datos

- ▶ Para almacenar los estados y operadores se emplean **matrices huecas**.
- ▶ Permiten ahorrar espacio y reducir el número de operaciones.
- ▶ Implementados en paquetes de cálculo como `scipy`
- ▶ Varios formatos (COO y CSR).

El simulador está implementado en `python` empleando los paquetes `qutip`, `scipy` y `numpy`.

Análisis de la simulación

- ▶ Análisis de **tiempo** y **espacio** de la simulación
- ▶ Análisis de **complejidad** del circuito cuántico.
- ▶ La simulación del circuito cuántico se divide en dos etapas QC_0 y QC_f para permitir un análisis más detallado.

Tiempo de la simulación

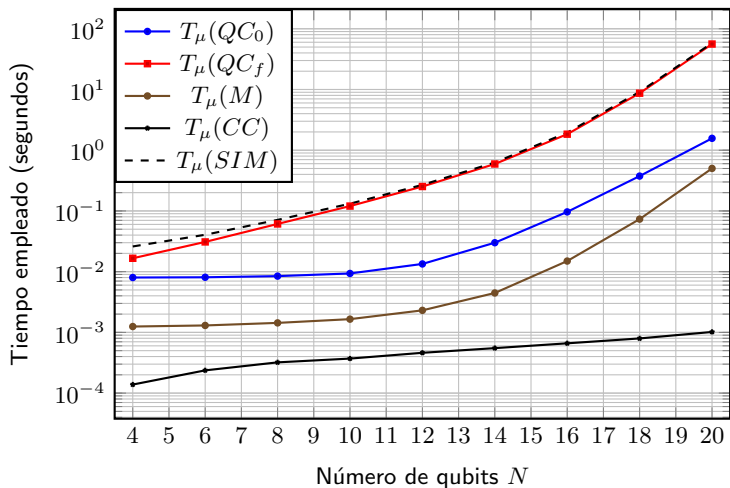


Figura: Tiempo de simulación en escala logarítmica.

Espacio de la simulación

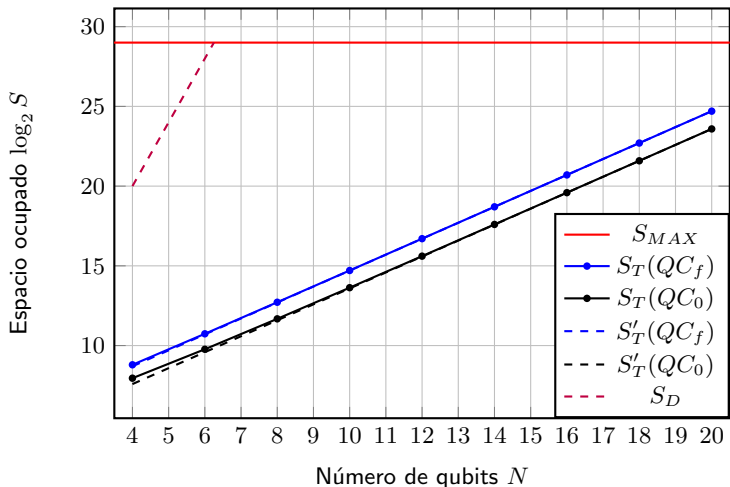


Figura: Espacio necesario para la simulación en bytes (escala logarítmica). El espacio requerido sin emplear matrices huecas, usando matrices densas se muestra como S_D . La memoria disponible para la simulación es $S_{MAX} = 2^{29}$.

Complejidad experimental del algoritmo de Simon

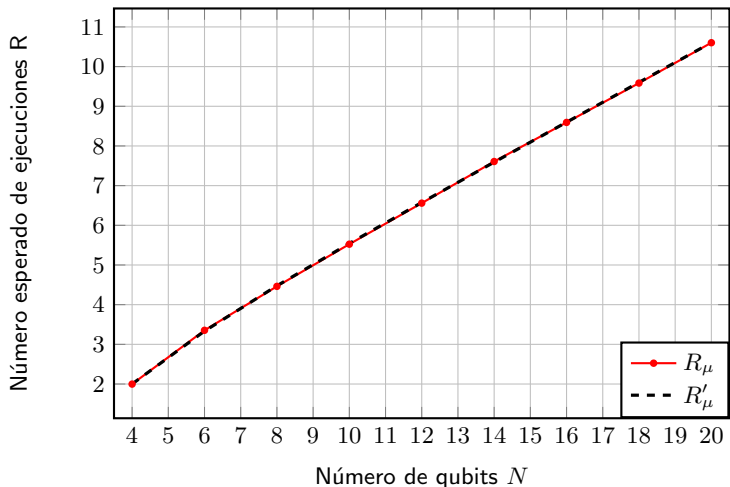


Figura: Número esperado de iteraciones a medida que aumentan los qubits. Se observa el valor experimental R_μ comparado con el teórico R'_μ .

Conclusiones

- ▶ La computación cuántica puede resolver algunos problemas **mucho** más rápido que la computación clásica.
- ▶ Realizar la simulación de un circuito cuántico es muy costoso.
- ▶ La simulación de circuitos permite comprobar los resultados teóricos.

Trabajo futuro

- ▶ Probar otros algoritmos cuánticos.
- ▶ Realizar el análisis de un algoritmo cuántico de forma automática, para determinar su complejidad.

Gracias por su atención.